

() *Acipenser stellatus* Pallas,
()
PCR-RFLP ND /

در بررسی حاضر، تنوع ژنتیکی ماهی ازون برون (*Acipenser stellatus*) دریای خزر با استفاده از ژن ND ۵/۶ میتوکندریایی و روش مولکولی PCR-RFLP بررسی شد. برای این کار تعداد ۶۰ نمونه از بافت باله دمی مولدان ماهی ازون برون رودخانه ولگا و ۱۴ نمونه از بافت باله دمی مولدان این ماهی از مرکز تکثیر و پرورش ماهیان خاویاری شهید مرجانی گرگان (صید شده از محدوده رودخانه گرگانود) مطالعه شد.

ژن ND ۵/۶ با استفاده از تکنیک PCR تکثیر و سپس با استفاده از ۳۱ آنزیم برشگر اندونوکلاز هضم گردید. از بین آنزیمها تعداد دوازده آنزیم هیچ منطقه برشی بر ژن مورد نظر نداشتند، تعداد چهارده آنزیم برشهای همسان و فقط پنج آنزیم برشگر *MboI (Sau3AI), HpaII, HaeIII, RsaI, HinfI* تنوع چند شکلی از خود نشان دادند.

در مجموع از بین ۷۴ نمونه مورد مطالعه ۱۸ ترکیب هاپلوتیپی به دست آمد. در رودخانه ولگا هاپلوتیپهای ABABA, BAAAA, AAAAA با بترتیب ۲۸/۱۱٪، ۱۱/۶۶٪ و ۱۱/۶۶٪ و در محدوده رودخانه گرگانود هاپلوتیپهای AAAAA و BAAAA با بترتیب ۲۸/۶۴٪ و ۲۸/۱۴٪ بیشترین فراوانی را دارا بودند. هاپلوتیپ AAAAA - که دارای فراوانی بالای ۶۰٪ در محدوده گرگانود است - می توان به عنوان مارکر مولکولی برای شناسایی ماهی معرفی کرد. در همین حد نیز می توان نسبت به برگشت پذیری نمونه فوق پس از تکثیر به آبهای ایران اطمینان حاصل کرد. ۱۴ هاپلوتیپ مختص رودخانه ولگا بود و در رودخانه گرگانود و محدوده آن نمونه‌ای از آنها مشاهده نشد.

میزان تنوع نوکلئوتیدی و هاپلوتیپی در جمعیت نمونه‌های ولگا بترتیب ۰/۰۱۲۲ و ۰/۰۲۷ ± ۰/۰۸۸ و در رودخانه گرگانود ۰/۰۰۳۹۸ و ۰/۱۴۴ ± ۰/۵۹۳۴ محاسبه شد. همچنین میزان تنوع نوکلئوتیدی بین دو جمعیت فوق ۰/۰۰۸۶۴۴ و اختلاف نوکلئوتیدی ۰/۰۰۰۵۴۲ محاسبه شد.

میزان χ^2 فراوانی هاپلوتیپها بین رودخانه ولگا و رودخانه گرگانود برابر با ۹/۹۶ بود. آنالیز آماری و شبیه‌سازی مونت کارلو^۱ با ۱۰۰۰ بار تکرار، برابر با $\chi^2 = ۰/۹۲۶ \pm ۰/۰۰۸۳$ محاسبه شد. نتیجه حاصل اختلاف معناداری را در فراوانی هاپلوتیپهای دو منطقه مورد بررسی نشان نداد.

: ماهی ازون برون، دریای خزر، PCR-RFLP، ND ۵/۶، *Acipenser stellatus* mtDNA، گرگانود.

* نویسنده مسئول مقاله: تلفن: ۰۹۱۱۳۷۱۵۷۹۶، صندوق پستی: ۱۵۷۳۹-۴۹۱۳۸، E-mail: Ali_Shabany@yahoo.com

1. Monte-Carlo

ذخایر ژنتیکی و حفظ بانک ژنی جمعیت‌های مختلف را نادیده گرفت [۱].

حفظ تنوع ژنتیکی در بازسازی ذخایر تاسماهیان به صورت قانونی پذیرفته شده است؛ بنابراین مدیران و صاحب‌بنظران در امر تکثیر مصنوعی تاسماهیان، در برنامه‌ریزی و مدیریت بازسازی ذخایر باید نه تنها تنوع ژنتیکی و حفظ فراوانی جمعیت‌های مختلف تاسماهیان را مدنظر قرار دهند بلکه در برنامه‌های اجرایی خود به عنوان یک دستورالعمل کاربردی به کار برند. پس اولین گام در این زمینه، تشخیص صحیح گونه‌ها، جمعیت‌ها یا نژادهاست که این امر هم از نظر مدیریت شیلاتی و هم برای برنامه حفاظت از گونه‌ها حایز اهمیت است [۱، ۶].

اگرچه در دهه‌های گذشته در مقایسه با سایر مهره‌داران، مطالعات مولکولی و ژنتیکی روی گونه‌ها و جمعیت‌های آبریان محدود بوده است [۷]، اما در سال‌های اخیر به کارگیری روش‌های مولکولی در بررسی‌های فیلوژنیک و جمعیتی آبریان به عنوان یک روش دقیق و مطمئن افزایش یافته است، برای مثال مطالعه ماهی (*Lepomis machruchirus*) Bluegill توسط آویس^۳ و همکاران در سال ۱۹۸۴ انجام شد [۸]. تعیین توالی نوکلئوتیدهای mtDNA در کپور معمولی (*Cyprinus carpio*) به وسیله چانگ^۴ و همکارانش در سال ۱۹۹۴ [۹] و در ارتباط با همین ماهی بررسی ژنهای ND ۵/۶ و ۳/۴ND با روش PCR-RFLP در دو منطقه اروپا و شرق آسیا به وسیله گروس^۵ و همکاران در سال ۲۰۰۲ بررسی شد. در مورد کاد اقیانوس اطلس نیز توالی نوکلئوتیدهای mtDNA به وسیله جانسون^۶ و همکارانش در سال ۱۹۹۴ منتشر شد [۱۰]. همچنین روش‌های مولکولی در بررسی جمعیت گونه‌هایی از آزادماهیان [۱۱، ۱۲]، اسکالوپ [۱۳]، ماهیان خاویاری

تاسماهیان از زمانهای گذشته به عنوان منبع با ارزش گوشت و خاویار به شمار رفته است. دریای خزر یکی از مهمترین حوضه‌های آبی است که ۹۰٪ تولید ماهیان خاویاری جهان را به خود اختصاص می‌دهد [۱]. این دریا همراه با رودخانه‌های منتهی به آن محل زیست شش‌گونه از ماهیان خاویاری است که یکی از گونه‌های با ارزش آن ماهی ازون برون *Acipenser stellatus* می‌باشد [۲، ۳]. اما متأسفانه مدتی است که ذخایر با ارزش ماهیان خاویاری دریای خزر از جمله ماهی ازون برون رو به کاهش گذاشته است. این کاهش جهانی است به گونه‌ای که کلیه گونه‌های ماهیان خاویاری جهان و همچنین تمام گونه‌های خاویاری حوضه خزر در فهرست ماهیان در معرض خطر سازمان IUCN^۱ قرار یافته است [۴]. از سال ۱۹۹۷ به بعد نام این ماهیان در فهرست کنوانسیون نظارت بر تجارت گونه‌های در حال انقراض (CITES)^۲ قرار گرفته است [۵].

در حال حاضر ذخایر این ماهی در دریای خزر از دو طریق تکثیر طبیعی و تکثیر مصنوعی بازسازی می‌شود. بر اساس تحقیقات انجام شده به طور تخمینی حدود ۳۰/۱٪ صید ازون برون، حاصل تکثیر مصنوعی، در کارگاه‌های تکثیر و پرورش می‌باشد. اگرچه تعداد بچه ماهیان حاصل از تکثیر مصنوعی در کارگاه‌های تکثیر و پرورش رقم بسیار بالایی را نشان می‌دهد اما این تعداد بچه ماهی هنوز نتوانسته است کاهش ذخایر حاصل از نبود تکثیر طبیعی تاسماهیان را جبران کند؛ علاوه بر این، نمی‌توان کتمان کرد که اگرچه با استفاده از تکثیر مصنوعی سالیانه میلیون‌ها بچه ماهی خاویاری در دریای خزر رها سازی می‌شود، اما نباید مسائل

3. Avis and *et al*
4. Chang and *et al*
5. Gross and *et al*
6. Johansen and *et al*

1. International Union For Conservation of Nature and Natural Resources.
2. Convention of International Trade Endangere Species Funa and Flora.

[۱۴-۲۳] صورت پذیرفت که در آن اختلاف ژنتیکی در بین گونه‌ها یا جمعیت‌های مختلف یک گونه بررسی شد. در ایران نیز در سال ۱۳۸۰ قرائی توانست با استفاده از روش RAPD دوگونه تاس ماهی ایرانی و تاس ماهی روسی را از یکدیگر تفکیک کند. کیوان شکوه در سال ۱۳۸۰ از روش RAPD برای تعیین جنسیت فیل ماهی استفاده کرد که پرایمر اختصاصی جنسیت مشخص نگردید. مطالعه تنوع ژنتیکی تاس ماهی ایرانی در رودخانه سفیدرود، جنوب شرقی و جنوب غربی دریای خزر با استفاده از روش PCR-RFLP و در ناحیه D-LOOP در سال ۱۳۸۱ به وسیله عطایی انجام شد [۲۴].

ماهی ازون برون دارای دو شکل است؛ یکی ازون برون خزر شمالی (*Acipenser stellatus pallas*) و دیگری ازون برون خزر جنوبی یا کورافرم (*Acipenser stellatus nation* Cyrensis, Berg) که به علت نبود اختلافات مورفولوژیک، تفکیک این دو شکل از نظر ظاهری امکان‌پذیر نیست [۲۵].

از آنجا که در ایران مولدان مورد نیاز کارگاه‌های تکثیر مصنوعی این ماهی از دریا تأمین می‌شوند بنابراین شناخت دقیق جمعیت‌های این ماهی در مناطق دریایی و مناطق صید آنها بسیار ضروری به نظر می‌رسد. در نهایت برای پاسخ به این سوال که آیا بین جمعیت‌های این ماهی در رودخانه ولگا (در بخش شمالی خزر) و رودخانه تجن (در بخش جنوبی و سواحل ایران) اختلافی وجود دارد یا خیر، بررسی مولکولی جمعیت ماهی ازون برون این دو ناحیه با استفاده از ژن ND۵/۶ - که یکی از ژنهای میتوکندری است - با روش مولکولی PCR-RFLP انجام شد. با توجه به اینکه تاکنون بررسی‌هایی بین جمعیت‌های شمال و جنوب این ماهی در دریای خزر انجام نشده است، بنابراین بررسی حاضر به عنوان اولین تحقیق در این خصوص است.

در این تحقیق ۶۰ نمونه از ماهیان رودخانه ولگا (انتقال داده شده برای تکثیر مصنوعی به کارگاه کیزانسکی شهر آستاراخان روسیه) و ۱۴ نمونه از سواحل جنوب خزر در محدوده رودخانه گرگانرود (تکثیر شده در کارگاه شهید مرجانی گرگان) نمونه‌برداری شد. از هر ماهی در حدود دو گرم از بخش‌های نرم باله دمی برداشته و در الکل اتیلک ۹۶٪ نگهداری شد [۳، ۱۴]. استخراج DNA با استفاده از روش فنل - کلروفرم انجام شد [۱۴].

برای بررسی کمیت و کیفیت DNA استخراج شده از روش الکتروفورز افقی با ژل آگارز یک درصد و رنگ‌آمیزی اتیدیوم بروماید و نیز اشعه UV استفاده شد. غلظت آن نیز با استفاده از اسپکتروفتومتری و با سنجش میزان جذب نوری نمونه‌های DNA در طول موج ۲۶۰nm و ۲۸۰nm و نسبت ۲۶۰/۲۸۰ محاسبه گردید [۲۴]. برای جداسازی و تکثیر ژن مورد نظر از آغازگرهای^۱ (پرایمرهای) اختصاصی ND ۵/۶، mtDNA ساخت شرکت MBI آلمان [۱۴] استفاده شد که توالی جفت بازهای آن به شرح زیر است:

ND۵: ۳' AATAGTTTATCCAGTTGGTCTTAG ۵'

ND۶: ۳' TAACAACGATGGTTTTTCATAGTCA ۵'

واکنش زنجیره‌ای پلیمرز (PCR) با کمک دستگاه PCR مدل TC3۴۱ Bioamersham pharmacia انجام شد. برای هر نمونه یک تیوپ ۰/۲ mL انتخاب و پس از شماره‌گذاری بر اساس جدول ۱، مواد به آن اضافه شد؛ سپس دستگاه PCR بر اساس جدول ۲ برنامه ریزی و تیوپها در آن قرار داده شد.

مواد استفاده شده در واکنش زنجیره‌ای پلیمرز (PCR)

		μL
DNA	۱۰۰ng	۱ μL
DNA Taq Polymerase	۵u/ μl	۰/۵ μL -۰/۲
dNTPs	۱۰mM	۱ μL
Mgcl2	۵۰mM	۳ μL
PCR Buffer	۱۰ X	۵ μL
پرایمر ۱ (ND5)	۲۰Pmol	۱ μL
پرایمر ۲ (ND6)	۲۰Pmol	۱ μL
آب مقطر	--	۳۷/۶ μL

برنامه داده شده به دستگاه PCR برای تکثیر ژن ND ۵/۶

	$^{\circ}\text{C}$	()	
واسرشته سازی اولیه	۹۵	۵	۱
واسرشته سازی	۹۴	۱	۳۰
الحاق	۵۳	۱/۵	
بسط	۷۲	۱	
بسط نهایی	۷۲	۱۰	۱

مقدار ۵ μL محصول PCR، ۱ μL آنزیم و ۲ μL بافر آنزیم در یک تیوپ با آب مقطر به حجم ۲۰ μL رسانده و به مدت ۴ تا ۲۴ ساعت در داخل انگوباتور در دمای بهینه هر آنزیم قرار داده شد. محصولات PCR هضم شده با استفاده از الکتروفورز عمودی با ژل پلی آکریل آمید ۶٪ و رنگ آمیزی نترات نقره همراه با مارکر ۱۰۰ bp مورد بررسی شدند.

تجزیه و تحلیل‌های آماری با نرم‌افزار رایانه‌ای ریپ^۱ [۲۶] انجام شد. در این برنامه میزان ارتباط هاپلوتیپها با استفاده از آزمون DSE و مقایسه پراکنش هاپلوتیپها با

محصول PCR با استفاده از روش الکتروفورز افقی با ژل آگارز یک درصد و همراه با مارکر $\lambda\text{DNA Hind III}$ سنجش و پس از اطمینان از تکثیر ژن ND ۵/۶ با استفاده از آنزیمهای برش دهنده، هضم آنزیمی شدند. برای اجرای آنالیز RFLP از آنزیمهای برش دهنده: *Bgl I*, *Ava I*, *Acc I*, *Xho I*, *Dde I*, *Nco I*, *Hinc II*, *Hha I*, *EcoR V*, *Dra I*, *J Nde I*, *Kpn I*, *Hind III*, *Alu I*, *EcoR I*, *Pvu II*, *Ava II I*, *Apa I*, *Bcl I*, *Xba I*, *Bgl II*, *Sma I*, *Sal I*, *Pst I I*, *Hpa I*, *Mbo I*, *Hinf I*, *Rsa I*, *Hae III*, *Taq I*, *BamH I* (در مجموع ۳۱ آنزیم) استفاده شد. برای این منظور

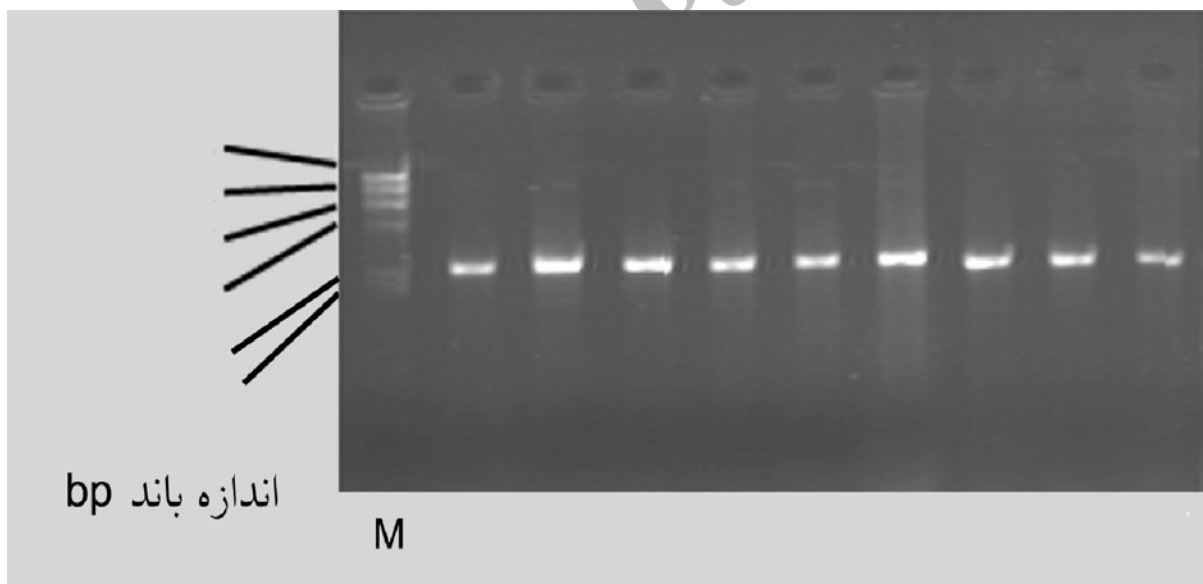
1. Reep

برای یافتن چندشکلی در بین نمونه‌ها، محصول PCR با ۳۱ آنزیم برش‌دهنده، هضم شد، تعداد ۱۲ آنزیم با نامهای *XbaI*, *BglIII*, *SmaI*, *SalI*, *PstI*, *NdeI*, *KpnI*, *HindIII*, *TaqI* و *BamHI*, *ApaI*, *BclI* هیچ محل برشی بر ژن ND۵/۶ نداشتند. تعداد ۱۴ آنزیم برشهایی را روی قطعه تکثیر شده ایجاد کردند اما در بین افراد مختلف این گونه هیچگونه تنوعی مشاهده نشد. تعداد و طول قطعات ایجاد شده به شرح جدول ۳ است.

۵ آنزیم پس از هضم محصول PCR، حالت چند شکلی نشان دادند؛ تعداد و طول قطعات ایجاد شده به شرح جدول ۴ می‌باشد.

استفاده از آزمون مونت کارلو با هزار بار تکرار صورت پذیرفت.

با استفاده از محلول فنل - کلروفرم و بر اساس روش ذکر شده در بخش مواد و روشها DNA از باله ماهیان استخراج گردید، کمیت و کیفیت DNA استخراج شده سنجش و پس از اطمینان از مطلوب بودن DNA، نسبت به تکثیر ژن ND ۵/۶ به کمک دستگاه PCR اقدام شد. طول تقریبی قطعه تکثیر شده (ژن ND ۵/۶)، در حدود ۲۵۰۰ جفت باز بود که به کمک ژل آگارز، مارکر λ DNAHindIII، رنگ‌آمیزی اتیدیوم بروماید و اشعه UV، از تکثیر ژن مورد نظر اطمینان حاصل شد (شکل ۱).



محصول PCR نمونه‌های ماهی ازون برون دریای خزر (ستونهای یک تا نه مربوط به ژن ND۵/۶ و ستون M مربوط به ژنوم λ هضم شده با آنزیم *HindIII* است).

نام آنزیم، تعداد و طول قطعات ایجاد شده بر اثر هضم آنزیمی محصول PCR

		(bp)
<i>AccI</i>	۲	۱۳۲۱ ، ۱۱۷۴
<i>AvaI</i>	۲	۲۱۰۰ ، ۴۰۰
<i>BglII</i>	۳	۱۴۵۸ ، ۶۰۵ ، ۴۳۳
<i>DraI</i>	۲	۱۴۰۰ ، ۱۱۰۰
<i>EcoRV</i>	۲	۱۴۵۰ ، ۱۰۵۰
<i>HhaI</i>	۲	۱۹۳۱ ، ۵۷۷
<i>HincII</i>	۲	۲۰۵۰ ، ۵۰۰
<i>NcoI</i>	۲	۱۵۹۰ ، ۹۰۰
<i>DdeI</i>	۱۰	۵۰۰ ، ۳۸۹ ، ۳۰۶ ، ۲۵۷ ، ۲۵۷ ، ۲۲۱ ، ۱۶۴ ، ۱۵۵ ، ۱۲۵ ، ۱۰۴
<i>XhoI</i>	۳	۱۱۵۰ ، ۱۰۵۰ ، ۲۸۵
<i>Avall</i>	۴	۸۱۱ ، ۷۱۸ ، ۶۶۲ ، ۳۰۶
<i>PvuII</i>	۴	۱۳۵۰ ، ۵۰۰ ، ۴۴۵ ، ۲۱۵
<i>EcoRI</i>	۵	۱۱۰۰ ، ۵۵۰ ، ۴۱۰ ، ۳۷۰ ، ۹۰
<i>AluI</i>	۷	۶۶۳ ، ۴۵۴ ، ۴۳۷ ، ۴۱۸ ، ۲۳۰ ، ۱۸۱ ، ۱۱۸

الگو و اندازه قطعات هضم شده به وسیله پنج آنزیم برشگر روی ژن ۵/۶ ND میتوکندریایی

<i>MboI(sau3AI)</i>				<i>HpaII</i>				<i>HinfI</i>			<i>HaeIII</i>			<i>RsaI</i>		
A	B	C	D	A	B	C	D	A	B	C	A	B	C	A	B	C
۱۷۸	۱۵۲	۷۷۲	۲۵۰	۱۰۲	۱۲۶	۷۲۰	۱۰۸	۱۱۴	۱۰۶	۶۶۷	۸۴۵	۸۴۵	۸۴۵	۱۵۰	۱۳۹	۹۶۰
.	.	.	.	۵	.	.	۱	۴	۶	۵	.
۲۶۵	۲۶۵	۷۳۲	-	۶۲۹	۶۲۹	۶۲۹	۴۴۰	۵۲۶	۵۲۶	۵۲۶	۳۲۰	۴۲۰	۷۷۰	۵۵۴	۵۵۴	۸۸۰
۲۲۸	۲۵۴	۴۰۰	-	۲۶۷	۲۶۷	۳۰۵	۲۵۱	۴۴۱	۴۴۱	۴۴۱	۳۰۰	۳۰۰	۳۰۰	۴۳۶	۴۳۶	۴۶۳
۲۱۵	۲۲۸	۲۲۸	-	۲۳۵	۲۱۵	۲۶۷	۱۹۸	۳۸۰	۳۸۰	۳۸۰	۲۵۰	۲۵۰	۲۵۰	-	۱۰۵	۱۸۵
-	۲۱۵	۱۹۲	-	۲۱۵	۱۲۱	۲۳۵	۱۸۴	۸۸	۸۸	۲۷۰	۱۹۰	۱۹۰	۱۷۵	-	-	-
-	-	۱۷۶	-	۱۲۱	-	۲۱۵	۱۵۰	-	۷۵	۲۴۰	۱۷۵	۱۷۵	۱۵۵	-	-	-
-	-	-	-	-	-	۱۲۱	۱۲۱	-	-	-	۱۶۵	۱۶۵	-	-	-	-
-	-	-	-	-	-	-	۸۰	-	-	-	۱۵۵	۱۵۵	-	-	-	-
-	-	-	-	-	-	-	-	-	-	-	۱۰۰	-	-	-	-	-

۰/۷۳۹۱±۰/۰۲۱۲ و میانگین دو منطقه ۰/۵۹۳۴±۰/۱۴۴ محاسبه گردید. همچنین میزان تنوع نوکلئوتیدی در جمعیت نمونه‌های رودخانه ولگا ۰/۰۱۲۲ و در نمونه‌های منطقه رودخانه گرگانرود ۰/۰۰۳۹۸ و میانگین دو منطقه ۰/۰۰۰۲±۰/۰۰۸۱ محاسبه گردید. میزان تنوع نوکلئوتیدی بین دو جمعیت فوق ۰/۰۰۸۶۴۴ و اختلاف نوکلئوتیدی ۰/۰۰۰۵۴۲ محاسبه شد.

تکثیر ژن ND ۵/۶ از میتوکندری ماهی ازون برون با استفاده از پرایمرهای ND۵ و ND۶ و برنامه داده شده به دستگاه PCR باعث تولید قطعه واحدی به طول تقریبی ۲۵۰۰ bp (جفت باز) برای دوژن ND۵/۶ میتوکندری این ماهی شده است. نتیجه حاصل با نتایجی که پورکازمی^۱ (۱۹۹۶) با استفاده از همین پرایمرها در این ماهی به دست آورده بود، یکسان می‌باشد. همچنین گراوس^۲ و همکاران در سال ۲۰۰۲ ژن ND۵/۶ را در ماهی کپور معمولی *Cyprinus carpio* مطالعه کردند [۲۷]؛ طول قطعه تکثیر شده در این بررسی نیز ۲۵۰۰bp گزارش شد. قاسمی (۱۳۸۲) ژن مورد نظر را با پرایمرهایی که در این تحقیق استفاده شد، تکثیر کرد. او نیز طول قطعه حاصل را ۲۵۰۰ bp به دست آورد. در بررسی منابع، اختلافاتی در اندازه قطعه تکثیر شده در دیگر ماهیان دیده شده است؛ برای مثال رضوانی^۳ (۱۹۹۷) طول قطعه ND ۵/۶ را برای تاس ماهی روسی *Acipenser gueldenstaedti* ۲۴۰۰bp گزارش کرد [۱۵]. امین‌زاده (۱۳۷۹) برای ماهی قزل‌آلای رنگین‌کمان *Oncorhynchus mykiss* [۲۸] و ترینتافیلیدس^۴ و همکاران (۱۹۹۹) در دو گونه از گربه ماهیان اروپا *Silurus glanis* و *Silurus aristotelis* نیز طول این قطعه از ژن میتوکندریایی را ۲۴۰۰bp گزارش کردند [۲۹]. تفاوتی که در بعضی از گونه‌ها در طول تکثیر شده ژن ND ۵/۶

با استفاده از آنالیز RFLP محصول تکثیر شده ND ۵/۶ میتوکندریایی در مجموع ۱۸ هاپلوتیپ از بین ۶۰ نمونه ماهی ازون برون رودخانه ولگا و ۵ هاپلوتیپ مختلف از بین ۱۴ نمونه ناحیه رودخانه گرگانرود و در مجموع ۱۸ هاپلوتیپ مختلف بین ۷۴ نمونه از دو منطقه مشخص گردید.

در رودخانه ولگا هاپلوتیپ‌های AAAAA, BAAAA, ABABA و ABAAA بترتیب با ۲۸/۳۳٪ و ۱۱/۶۶٪ و ۱۱/۶۶٪ و ۸/۳۳٪ فراوانی و در محدوده رودخانه گرگانرود هاپلوتیپ‌های AAAAA و BAAAA بترتیب با ۶۴/۲۸٪ و ۱۴/۲۸٪ فراوانی رایجترین هاپلوتیپ‌های مناطق فوق بودند.

سیزده هاپلوتیپ مختص ناحیه شمال (رودخانه ولگا) بود و در محدوده رودخانه گرگانرود هیچ نمونه‌ای از آنها دیده نشد، اما ۵ هاپلوتیپ ناحیه رودخانه گرگانرود به صورت مشترک در رودخانه ولگا نیز وجود داشت.

میزان χ^2 محاسبه شده بین رودخانه ولگا و گرگانرود برابر با ۹/۶۶ و پس از ۱۰۰۰ بار تکرار میزان $\pm ۰/۰۰۸۳$ $\chi^2 = ۰/۹۲۶$ محاسبه شد. شایان ذکر اینکه اختلاف معناداری بین فراوانی هاپلوتیپ‌های دو منطقه مشاهده نشد. پنج آنزیم برش‌دهنده بترتیب از چپ به راست با نامهای:

RsaI, HaeIII, HinfI, HpaII, MboI

تعداد ۱۸ هاپلوتیپ به شرح زیر ایجاد کردند:

1.AAAAA	7.AAACA	13.ABABB
2.BAAAA	8.ABABA	14.ABADB
3.ABAAA	9.ABAAB	15.CCCCC
4.AABAA	10.BAACA	16.ABADA
5.ABBAA	11.AAADA	17.BBBAB
6.AAABA	12.ABBBA	18.BAAAB

آزمون DSE برای محاسبات مربوط به میزان ارتباط بین ۱۸ هاپلوتیپ بر اساس جدول ۵ محاسبه گردید.

در این بررسی تعداد پنج آنزیمی که تنوع نشان دادند به طور متوسط در هر هاپلوتیپ ۲۷/۵۶ قطعه ایجاد کردند. تعداد متوسط بازهای بررسی شده ۱۱۰/۲۲ باز بود.

میزان تنوع هاپلوتیپی درون جمعیت نمونه‌های رودخانه ولگا ۰/۸۸±۰/۰۲۷ و در نمونه‌های منطقه رودخانه گرگانرود

1. Pourkazami,
2. Gross and et al
3. Rezvani
4. Triantafyllidis and et al

مشاهده می‌شود، احتمالاً به دلیل تفاوت‌های نوکلئوتیدی در پرایمر و در دو انتهای ژن مربوط می‌باشد [۳۰].

تجزیه و تحلیل RFLP حاضر روی ژن ND۵/۶ تکثیر شده با استفاده از تکنیک PCR میانگین تنوع نوکلئوتیدی و تنوع هاپلوטיפی درون جمعیت دو منطقه را بترتیب $0/00002 \pm 0/0081$ و $0/0212 \pm 0/07391$ ، میزان تنوع نوکلئوتیدی بین دو جمعیت رودخانه ولگا و گرگانرود را $0/008764$ و اختلاف نوکلئوتیدی بین دو جمعیت فوق را $0/000542$ نشان می‌دهد. میزان تنوع نوکلئوتیدی این ماهی بین دو جمعیت ولگا و گرگانرود $0/008764$ به دست آمد که در مقایسه با میزان تنوع نوکلئوتیدی به دست آمده در مطالعات قاسمی (۱۳۸۲) روی ماهی شیب ($0/00754$) اختلاف چندانی را نشان نمی‌دهد [۳۱].

عطایی در سال ۱۳۸۱ میزان تنوع نوکلئوتیدی را در تاس‌ماهی روسی $0/044$ [۲۴] و پورکاظمی (۱۹۹۶) در مطالعات ساختار ژنتیکی جمعیت ازون برون ناحیه جنوبی دریای خزر، میزان تنوع نوکلئوتیدی را $0/009$ گزارش کردند [۱۴]؛ این مقادیر تقریباً برابر با محاسبات بدست آمده است.

علت پایین بودن تنوع ژنتیکی در ماهیان به علت خونسرد بودن آنهاست. در موجودات خونسرد به دلیل متابولیسم پایین، سرعت تکاملی و تغییر نوکلئوتیدی mtDNA کم می‌باشد؛ ضمن آنکه تنوع mtDNA فقط بر اساس جهش (موتاسیون) است و نوترکیبی در آن دخالتی ندارد [۳۰].

با استفاده از ۵ آنزیم برش دهنده در روش RFLP برای تعیین میزان تنوع، در مجموع به طور متوسط $110/22$ جفت باز بررسی شد. با توجه به تعداد بازهای بررسی شده تنوع حاصل در این گونه را نمی‌توان به حساسیت کم این روش نسبت داد.

در این تحقیق تعداد ۱۸ هاپلوטיפ مختلف به دست آمد. فقط هاپلوטיפ AAAAA به طور مشترک بیشترین فراوانی را در هر دو منطقه بترتیب در رودخانه ولگا و گرگانرود با

استابایل^۳ و همکاران در سال ۱۹۹۶ پنج جمعیت متفاوت از تاس‌ماهی *A. oxyrinchus desotiei* را در منطقه آمریکای

1. Wolf
2. Monte- Carlo
3. Stabile and *et al*

جفت باز آن بررسی شد. نتایج حاصل مربوط به این ۱۱۰ جفت باز است؛ در حالی که حدود ۲۴۰۰ جفت باز بررسی نشده است و چه بسا با بررسی بیشتر و توالی‌یابی ژن فوق نتایجی متفاوت از آنچه به دست آمده، به دست آید.

از آنجا که هاپلوتیپ AAAAA فراوانی بالای ۶۴٪ را در محدوده رودخانه گرگانود داراست، می‌توان هاپلوتیپ فوق را که با استفاده از هضم آنزیمی پنج آنزیم برش دهنده *RsaI*, *HaeIII*, *HinfI*, *HpaII*, *MboI* به عنوان مارکر مولکولی جمعیت ماهی ازون برون محدوده رودخانه گرگانود معرفی کرد. چنانچه مراکز تکثیر ماهیان خاویاری بخواهند از مولدان دریایی برای تکثیر استفاده کنند، می‌توان با روش مولکولی ذکر شده و با استفاده از آنزیمهای فوق در فاصله زمانی کوتاه نسبت به تشخیص نمونه‌ها و در صورت یکی بودن با هاپلوتیپ فوق نسبت به تکثیر مولدان اقدام کنند.

شمالی تا خلیج مکزیک گزارش و عامل ایجاد آن را فاصله زیاد جغرافیایی این مناطق عنوان کردند [۲۲]. بنابراین فاصله جغرافیایی مهمترین عامل در شکل‌گیری ساختار ژنتیکی جمعیت‌هاست [۳]. اما با وجود فاصله جغرافیایی بالایی که بین دو منطقه وجود دارد (بیشتر از ۱۰۰۰ Km) اختلافی بین دو جمعیت فوق مشاهده نشد. عدم مشاهده اختلاف بین دو جمعیت فوق در این بررسی دلیل بر نبود دو جمعیت مستقل از این ماهی در رودخانه ولگا و گرگانود نیست زیرا در این تحقیق نمونه‌های رودخانه گرگانود از دریا صید شدند نه از رودخانه؛ چنانچه با از بین بردن موانع بتوان ماهیان مهاجر به رودخانه گرگانود را صید کرد و این بررسی را روی آنها انجام داد، احتمالاً نتایج متفاوتی به دست خواهد آمد. دلیل دیگر تعداد آنزیمهای به کار رفته و تعداد بازهای مورد بررسی است به گونه‌ای که از حدود ۲۵۰۰ جفت باز ژن ND۵/۶ میتوکندری این ماهی فقط حدود ۱۱۰

بیولوژی ماهیان دریا؛ دانشکده علوم دریایی و منابع طبیعی؛ دانشگاه تربیت مدرس؛ ۱۳۷۹؛ ص. ۷۸.

- [7] Meyer A.; Evolution of mitochondrial DNA in fishes. In: Biochemistry and molecular Biology of fishes, 2 Molecular Biology frontiers. Ed. Hochachka; 1993; pp. 1-33.
- [8] Avise J. C., Bermingham E., Kessler G., Saunders N. C.; "Characterization of mitochondrial DNA Variability in a hybrid swara between subspecies of bluegill sunfish (*Lepomis macrochirus*)". *Evaluation*; 1984; 38: 931-941.
- [9] Chang Y. S., Huang F. L., Lo, T. B.; "The complete nucleotide sequence and gene organization of carp (*Cyprinus carpio*) mitochondrial genome". *J. Mol. Evol.*; 1994; 38(2): 138-155.
- [10] Johansen S., Berg T., Moum. T.; "Variability and evolution of mitochondrial DNA sequences from marine animals. In: Third International marine Biotechnology, Tromso, Norway; 1994; B3p.

[۱] پورکاظمی م؛ "نگرشی بر وضعیت تاسماهیان دریای خزر و چگونگی حفظ ذخایر آن"؛ *مجله علمی شیلات ایران*؛ پاییز ۱۳۷۶؛ صص ۱۳-۲۲.

[۲] بهمنی م؛ "بررسی فیلوژنیک و سیستماتیک تاسماهیان"؛ *مجله علمی شیلات ایران*؛ تابستان ۱۳۷۷؛ صص. ۲۸-۹.

[3] Pourkazemi M., Skibinski D.O., Bear more A.; "Application of mtDNA d-Loop region for the study of Russian sturgeon population structure from Iranian coastline of the Caspian sea". *J. Appl. Ichthyol.* 1999; 15: 23-28.

[4] IUCN; IUCN Red List of Threatened Animals. Gland, Switzerland: IUCN. 1996; 70: 235-236.

[5] Ivanov V. P., Vlasenko A. D.; "The Relict of the Caspian Sea, The Sturgeons". *Fish Farming and Fishing.* 2001; 1: 20-21.

[۶] لالوئی ف؛ "بررسی تنوع ژنتیکی ماهی *Barbus capito* در استانهای گیلان و مازندران؛ پایان‌نامه کارشناسی ارشد

- [11] Bermingham E., Forbes S. H., Friedland K., Pla C.; "Discrimination between Atlantic salmon (*Salmo salar*) of North American and European Origin using restriction analysis of mtDNA". *Can. J. Fish. Aquat. Sci.* 1991; 48(5): 884-893.
- [12] Park L. K., Brainard M. A., Dightman D. A., Winans G. A.; Low level of intraspecific variation in the mitochondrial DNA of chum salmon (*oncorhynchus keta*). *Mol. Mar. Biol. Biotechnol.* 1993; 2 (6): 362-370.
- [13] Wilding C. S., Beaumont A. R., Latchford J. W.; "Mitochondrial DNA variation in the scallop *pectin maximus* (L), assessed by a PCR-RFLP method". *Heredity*; 1997; 79: 178-189.
- [14] Pourkazemi M.; "Molecular and biochemical Genetic analysis of sturgeon stocks from the Caspian sea"; *Ph.D. Thesis of Biological sciences*; University of Wales, Swansea. 1996; p. 260.
- [15] Rezvani Gilkolaei S.; "Molecular Population Studies of sturgeon species in the southern Caspian sea". ; *Ph.D. Thesis, school of Biological Sciences University of Wales, Swansea*; 1997; p. 196.
- [16] Rezvani Gilkolaei S.; Polymerase chain reaction (PCR) and direct sequence of mtDNA from the ND5/6 gene region in Persian sturgeon (*Acipenser persicus*) from the southern Caspian sea". *Iranian Journal of fisheries Sciences*; 1999; 1 (1): 24-34.
- [17] Rezvani Gilkolaei S.; Study of mtDNA variation of Russian sturgeon population from southern Caspian Sea using RFLP analysis of PCR amplified ND5/6 gene regions. *Iranian Journal of fisheries Sciences*; 2000; 2 (1): 13-36.
- [18] Birstein V. J., Doukakis P., Desalle R.; Molecular Phylogeny of Acipenserinae and Black Caviar Species Identification; *J. Appl. Ichthyo*; 1999.
- [19] Waldman J. R., Wirgin I. I.; "Status and restoration options for Atlantic sturgeon in North America. *Conservation Biology*. 1997; 12 (3): 631-638.
- [20] Donald E. Campton Anna L. Bass Frank A.; Chapman and Brian W. Bowen; "Genetic distinction of pallid, shovel nose, and Alabama sturgeon: emerging species and the US Endangered species Act". *Conservation Genetics*; 2000; 1: 17-32.
- [21] Ludwig A. N., Jennechens I. Debus L. Ludwig A. Beeker J. Kirschbam F.; "Genetic analyses of archival specimens of the Atlantic sturgeon *Acipenser sturio*". *Bol. Inst. Esp. Oceanogr*; 2000; 16(44): 181-190.
- [22] Ludwig A., Natalia M. Belfior Christian Pitra, Victor svirsky, Ingo Jenneckens. Genome Duplication Events and Functional Reduction of Ploidy Levels in Sturgeon (*Acipenser*, *Huso* and *Scaphirhynchus*). *Genetics*; 2001; 158: 1203-1215.
- [23] Stabile J., Waldman J. R., Parauka F., Wirgin J.; Stocks structure and homing fidelity in Gulf of Mexico sturgeon (*Acipenser Oxyrinchus desotoi*) based on restriction fragment Length polymorphism and sequence analyses of mitochondrial. *DNA Genetics*; 1996; 144: 467-475.
- [24] Wolf C., Hubber P., Luthy J.; "Differentiation of the Sturgeon Species by PCR-RFLP. *Food Research International*". 1999; 32: 699-705.
- [25] عطایی ف.; "بررسی تنوع ژنتیکی تاس ماهی ایران (*Acipenser persicus*) در رودخانه سفیدرود با استفاده از روش ملکولی PCR-RFLP روی mtDNA و اطلاعات مورفولوژیکی"; پایان نامه کارشناسی ارشد علوم جانوری؛ دانشکده علوم پایه؛ دانشگاه شهید بهشتی؛ ۱۳۷۹؛ ص. ۱۵۷.
- [26] Holcik J.; The Freshwater fishes of Europe. Vol. I. Part II, Acipenseriformes, AULA-Verlag, Wiesbaden; 1989.
- [27] Roff D. A., Bentzen P.; "The statistical analysis of mitochondrial DNA polymorphisms: X² problem

- of small sample size". *Mol. Bio. Evo*; 1989; 2: 539-545.
- [28] Gross R., Kohlmann K., Kersten P.; PCR-RFLP analysis of mitochondrial ND 3/4 and ND5/6 gene polymorphism in the European and east Asian subspecies of common carp (*Cyprinus carpio*); *Aquaculture*; 2002; 204: 507-516.
- [29] امین‌زاده س.; "بررسی تنوع ژنتیکی ماهیهای قزل‌آلای رنگین‌کمان در قطعه ND 5/6 ژنوم میتوکندری به روش PCR-RFLP"; پایان‌نامه کارشناسی ارشد بیوشیمی؛ دانشکده علوم پایه؛ دانشگاه تربیت مدرس؛ ۱۳۷۹؛ ص. ۸۵.
- [30] Triantafyllidis A., Abatzopoulos T. J., Economidis P. S.; "Genetic differentiation and phylogenetic relationships among Greek *Silurus glanis* and *Silurus aristotelis* (Pisces, Siluridae) Populations, assessed by PCR-RFLP analysis of mitochondrial DNA segments. The Genetical society of Great Britain". *Heredity*. 1999; 82: 503-509.
- [31] Beumant, A.R.; Genetic and Evolution of Aquatic Organisms. Chapman and hall. London; 1994.
- [32] قاسمی س.; "مقایسه تنوع ژنتیکی ماهی شیب (*Acipenser nudiiventris*) در سواحل جنوبی دریای خزر و رودخانه اورال با استفاده از روش PCR-RFLP"; پایان‌نامه کارشناسی ارشد بیولوژی ماهیان دریا؛ دانشکده علوم دریایی و منابع طبیعی؛ دانشگاه تربیت مدرس؛ ۱۳۸۲؛ ش. ۱؛ ص. ۷۳.
- [33] رضوانی گیل‌کلایی س.; سیدعلی‌بابایی س.ع. و پورکاظمی م.; "بررسی ملکولی جمعیت میگوی سبز (*Penaeus semisulcatus*) از دریای عمان و خلیج فارس با استفاده از ژن سیتوکروم اکسیداز I (COI) به روش RFLP"; مجله علمی شیلات ایران؛ تابستان ۱۳۸۰؛ صص. ۱۵-۳۰.

Archive of SID